УДК 541(64+49):546.223-2'13

# САМООРГАНИЗУЮЩИЕСЯ ЧАСТИЦЫ ПОЛИМЕР-КОЛЛОИДНЫХ КОМПЛЕКСОВ НА ОСНОВЕ СОПОЛИМЕРОВ N,N'-ДИАЛЛИЛ-N,N'-ДИМЕТИЛАММОНИЙ ХЛОРИДА С ЛИОКСИЛОМ СЕРЫ РАЗЛИЧНОЙ МОЛЕКУЛЯРНОЙ МАССЫ

© 2023 г. М. С. Бабаев<sup>а,\*</sup>, С. В. Колесов<sup>а</sup>

 $^a$ Институт органической химии Уфимского научного центра Российской академии наук 450054 Уфа, пр. Октября, 71, Россия

\*e-mail: b.marat.c@mail.ru
Поступила в редакцию 01.11.2022 г.
После доработки 16.01.2023 г.
Принята к публикации 25.01.2023 г.

Исследовано образование полимер-коллоидных комплексов при взаимодействии сополимеров N,N'-диаллил-N,N'-диантиламмоний хлорида и диоксида серы различной молекулярной массы и додецилсульфата натрия. Комплексы охарактеризованы методами турбидиметрического титрования и лазерной дифракции/рассеяния света. Средний размер частиц полимер-коллоидных комплексов в зависимости от состава реакционной смеси и молекулярной массы полиэлектролита изменяются в интервале 150—200 нм. Определены критические концентрации агрегации додецилсульфата натрия в присутствии сополимеров различной молекулярной массы. Показано, что молекулярная масса поликатиона оказывает значительное влияние на границы области появления фазы полимер-коллоидных комплексов и размер их частиц. Оценена способность частиц комплексов солюбилизировать молекулы плохо растворимых в воде веществ.

DOI: 10.31857/S2308113923700298, EDN: PHTSIN

# **ВВЕДЕНИЕ**

Взаимодействие противоположно заряженных полиэлектролитов и ионогенных ПАВ при определенных соотношениях компонентов приводит к образованию стабильных коллоидных дисперсий в водной среде. В таких дисперсиях большая часть противоионов ПАВ электростатически присоединяется к полиэлектролитам, формируя комплексы, которые принято называть полимерколлоидными ( $\Pi KK$ ) [1]. Заметный вклад в развитие теории образования и организации ПКК внесли В.А. Кабанов и А.Б. Зезин [2, 3]. Механизмы образования ПКК и влияние кинетических факторов на процессы взаимодействия в системах ПАВ-полиэлектролит описаны в работах [4-7]. Интерес к ПКК обусловлен широкими возможностями их практического применения, например в качестве флокулянтов [8]. ПКК оказались также весьма эффективными средствами для извлечения из водных сред растворенных или диспергированных в них органических веществ различной природы [8, 9]. Сегодня ПКК привлекают внимание исследователей в основном как носители лекарственных средств [10-13]. Помимо электростатических взаимодействий, комплексы могут быть стабилизированы гидрофобными взаимодействиями [1, 14, 15]. Взаимодействие полиэлектролитов с противоионами ПАВ может приводить к образованию нерастворимых продуктов [6, 16].

Стабильность дисперсий комплексов в водной среде зависит не только от соотношения компонентов, но и от лиофилизирующей способности полиэлектролитов [17]. Несмотря на обширные исследования ПКК, физико-химическое поведение этих коллоидных систем остается не до конца ясным, отчасти потому, что процессы самосборки при взаимодействии полиэлектролитов и поверхностно-активных веществ приводят к формированию неравновесных комплексов [18]. Неравновесный характер процесса комплексообразования растворов полиэлектролит-ПАВ оказывает чрезвычайно сильное влияние на межфазные свойства таких систем, как недавно было установлено R.A. Campbell и I. Varga [19, 20]. Динамика таких полимерных систем чувствительна к молекулярной массе [21]. Большинство исследований в литературе сосредоточено на полиэлектролитах с высокой молекулярной массой из-за их полезного реологического и (де)стабилизирующего характера [22]. Однако в целом влияние данного фактора неоднозначно и трудно

Сополимер	Среда	Инициатор	Содержание инициатора, мас. %	<i>T</i> , K	[η], дл/г	$M_z \times 10^{-3}$
I	Вода	Персульфат калия	0.2	293	0.09	3
II	Вода	УФ-облучение	_	293	0.24	15
III	ДМСО	ДАК	0.5	293	0.31	35
IV	ДМСО	ДАК	0.5	333	0.51	65

Таблица 1. Условия сополимеризации и характеристики сополимеров ДАДМАХ с диоксидом серы

предсказуемо [23–25]. Настоящая работа посвящена изучению влияния молекулярной массы сополимера N,N'-диаллил-N,N'-диметиламмоний хлорида (ДАДМАХ) с диоксидом серы на процесс формирования ПКК с додецилсульфатом натрия (ДДС) и размер частиц комплекса.

# ЭКСПЕРИМЕНТАЛЬНАЯ ЧАСТЬ

Сополимеры N, N'-диаллил-N, N'-диметиламмоний хлорида с двуокисью серы различной молекулярной массы синтезировали из соответствующих мономеров раликальной полимеризацией при эквимольном составе реакционной смеси и суммарной концентрации мономеров 46 мас. % по известной методике [26]. Условия полимеризации, характеристическая вязкость и молекулярные массы всех сополимеров приведены в табл. 1. Полимеризацию прерывали охлаждением и последующим осаждением полимеров в ацетон. Очистку проводили трехкратным переосаждением из водного раствора в ацетон, далее сушили в вакууме при 50°C до постоянной массы. Чистоту сополимеров контролировали методом ЯМРспектроскопии и по данным элементного анализа [11, 26]. Полученные сополимеры являются регулярно чередующимися и имеют соотношение звеньев ДАДМАХ: диоксид серы = 1:1 [26].

Характеристическую вязкость растворов полиэлектролитов [ $\eta$ ] (дл/r) определяли методом капиллярной вискозиметрии (вискозиметр Уббелоде, 0.1 Н водный раствор NaCl, 25  $\pm$  0.01°C). Молекулярную массу полимеров находили методом седиментационного равновесия и рассчитывали по уравнению

$$M_z = \frac{RT}{(1 - \mu \rho_0) \omega^2} tg\alpha$$

Здесь R — универсальная газовая постоянная; T — абсолютная температура;  $\omega$  — угловая скорость вращения ротора ультрацентрифуги ( $\omega$  =  $2\pi n$ , где n — число оборотов ротора в минуту);  $\alpha$  — угол наклона зависимости Z/X от концентрации раствора c, (X — расстояние от оси вращения ротора до точки кривой на снимке, Z = dc/dX — высота градиентной кривой (градиент концентрации) в дан-

ной точке);  $(1 - \nu \rho_0)$  — архимедов множитель ( $\nu$  — удельный парциальный объем полимера,  $\rho_0$  — плотность растворителя).

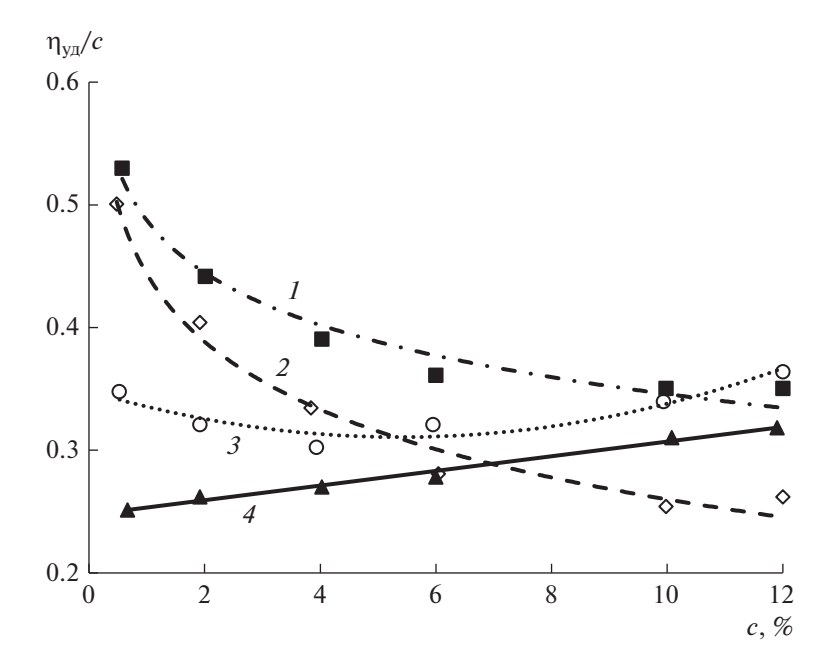
Дисперсии частиц ПКК получали путем смешения водных растворов ДАДМАХ—диоксид серы и ДДС при определенном мольном соотношении компонентов z = [ДДС]: [ДАДМАХ]. Турбидиметрическое титрование проводили способом, описанным в работе [27]. Исходные концентрации ДАДМАХ—диоксид серы (по мономерным звеньям ДАДМАХ) и ДДС составляли 2 и 1.5 ммоль/л соответственно, концентрация ПКК в растворе 0.05-0.2 мас. %.

Размер частиц ПКК определяли на дифракционном анализаторе размеров частиц "SALD-7101 Shimadzu", принцип работы которого основан на статическом рассеянии лазерного света с длиной волны  $\lambda = 375$  нм. Размер частиц вычисляли автоматически с помощью программного комплекса прибора "WingSald II". Результат вычисления размеров представлен в виде зависимости диаметра частиц d (нм) от их числовой доли q (%). Прибор калибровали с использованием специального калибровочного образца MBP 1-10 таким образом, чтобы определяемые значения размеров частиц MBP 1-10 расходились не более чем на 3% с паспортными данными.

Критическую концентрацию мицелообразования (**ККМ**) и критическую концентрацию агрегации (**ККА**) ДДС оценивали методом солюбилизации маслорастворимого красителя Oil Yellow OB [28]

Критическая концентрация мицеллообразования ДДС в воде составила 8 ммоль/л, что соответствует справочным данным [29].

Солюбилизирующую способность частиц ПКК определяли следующим образом. К 10 мл раствора ПКК при z=0.3 добавляли 10 мг красителя.



**Рис. 1.** Зависимость приведенной вязкости от концентрации сополимера II в воде (I) и в водных растворах NaCl с концентрацией 0.001 (2), 0.05 (3) и 0.1 моль/л (4) при 298 K.

Концентрация ПКК в растворе составляла 0.1 мас. %. Растворами сравнения служили дистиллированная вода и водный раствор ДАДМАХ-диоксид серы I ([ДАДМАХ] = 2 ммоль/л, что соответствует концентрации ДАДМАХ в растворах ПКК), в которые также добавляли навеску красителя. Полученные растворы красителя выдерживали при перемешивании в течение 7 суток для достижения равновесного значения оптической плотности. Далее растворы центрифугировали при скорости вращения ротора 6000 оборотов/мин в течение 30 мин для удаления избытка красителя и измеряли оптическую плотность. В случае образцов ПКК с красителем растворы предварительно разбавляли в 5 раз. Оценку повышения растворимости красителя в присутствии ПКК проводили по формуле, адаптированной в соответствии с законом Бугера-Ламберта-Бера

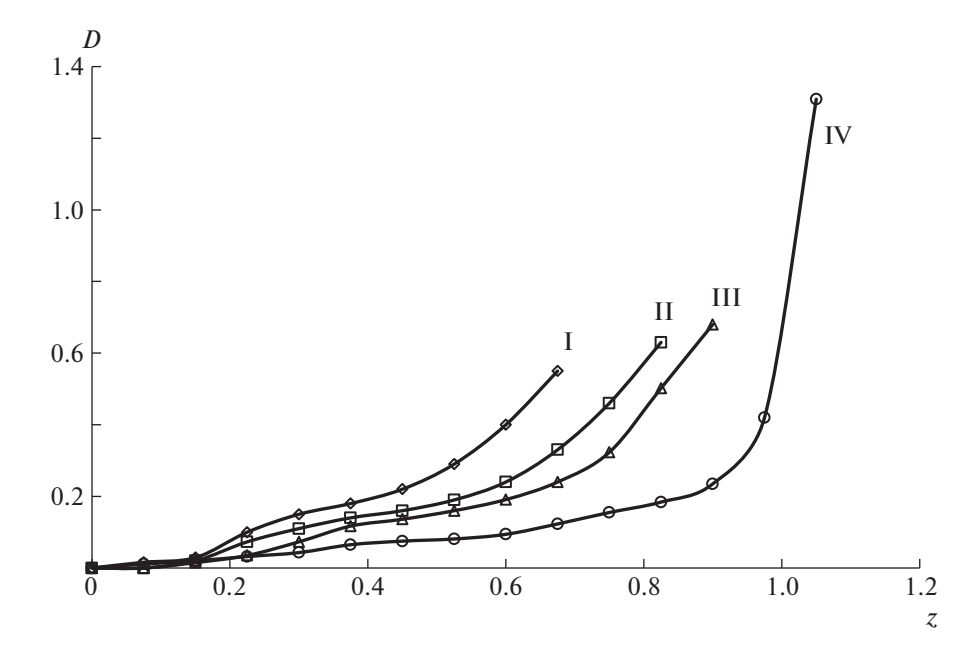
$$S = \frac{A_{PSC/dye} \cdot k - A_{PSC}}{A_{dye}},$$

где S — безразмерная величина, характеризующая кратность увеличения растворимости красителя;  $A_{PSC/dye}$ ,  $A_{PSC}$  и  $A_{dye}$  — оптическая плотность растворов смеси красителя и ионных комплексов, ионных комплексов и красителя в дистиллированной воде соответственно; k — коэффициент разбавления раствора. Во всех случаях оптическую плотность определяли при длине волны  $\lambda_{max} = 432$  нм, соответствующей максимуму поглощения красителя.

# РЕЗУЛЬТАТЫ И ИХ ОБСУЖДЕНИЕ

Полученные сополимеры ДАДМАХ-диоксид серы различной молекулярной массы представляют собой гигроскопичные соединения желтоватого цвета, растворимые в воде и не растворимые в органических растворителях. Ранее было показано, что состав сополимеров не зависит от соотношения мономеров в исходной смеси, температуры протекания реакции, среды (вода, ДМСО), характера инициирования (вещественное или УФ). Во всех случаях образуются чередующиеся сополимеры с соотношением звеньев ДАДМАХ: диоксид серы = 1 : 1 [26]. При определении приведенной вязкости обнаруживается полиэлектролитный эффект (рис. 1). Предварительно исследовали влияние добавок NaCl на линеаризацию концентрационной зависимости приведенной вязкости. Полиэлектролитный эффект подавляется при концентрации соли выше 0.05 Н; в 0.1 Н растворе полиэлектролитный эффект гарантировано подавлен (рис. 1).

Характеристическая вязкость [ $\eta$ ] и соответственно молекулярная масса полимера существенно зависят от среды и способа инициирования полимеризации (табл. 1). Значения [ $\eta$ ] для сополимеров, полученных в водной среде, ниже — 0.09 (персульфат калия, 293 K) и 0.24 дл/г (УФоблучение, 293 K), чем для сополимеров, синтезированных в среде ДМСО — 0.31 (ДАК, 293 K) и 0.51 дл/г (ДАК, 333 K). Исследования показали, что ММ сополимера зависит также от способа инициирования. Для образцов I, II, III и IV она составляет  $3 \times 10^3$ ,  $15 \times 10^3$ ,  $35 \times 10^3$  и  $65 \times 10^3$  при



**Рис. 2.** Кривые турбидиметрического титрования растворов ДАДМАХ— диоксид серы раствором ДДС. Молекулярная масса ДАДМАХ—диоксид серы  $M \times 10^{-3} = 3$  (I), 15 (II), 35 (III) и 65 (IV).

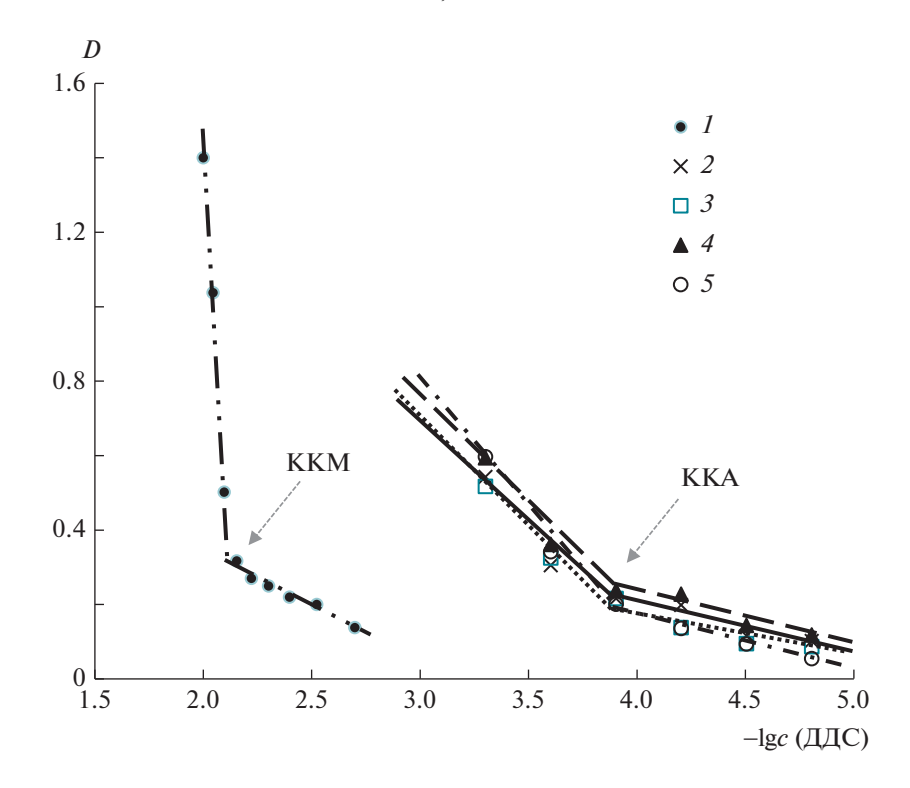
инициировании полимеризации персульфатом калия, УФ-облучением и ДАК соответственно.

Полимеры ДАДМАХ представляют собой полиэлектролиты катионного типа и способны вступать в реакции ионного обмена с органическими противоионами. Лиофилизирующая способность полиэлектролита определяется эффективным зарядом полимерной цепи, а также наличием полярных и неполярных групп в составе макромолекулы, которые могут давать как положительный, так и отрицательный вклад в ее лиофилизирующую способность, что выражается в изменении величины  $z_{\text{пред}}$  [13]. Для оценки лиофилизирующей способности полимеров ДАДМАХдиоксид серы в зависимости от молекулярной массы проводили турбидиметрическое титрование водных растворов ДАДМАХ-диоксид серы раствором ДДС. Додецилсульфат натрия является анионным ПАВ, который используют для оценки лиофилизирующей способности катионных полиэлектролитов [17, 27]. Механизм связывания гомополимера и ДДС был всесторонне изучен методами калориметрии, определения дзетапотенциала и электропроводности, а также квантово-механическими расчетами [30]. Показано, что взаимодействие ПАВ-полиэлектролит определяется как электростатическими, так и гидрофобными взаимодействиями и является кооперативным. Кооперативные взаимодействия приводят к образованию нано- и микрочастиц, которые заряжены положительно или отрицательно в зависимости от мольного соотношения компонентов z. Электростатические взаимодействия

ДАДМАХ—диоксид серы с ДДС можно представить следующей схемой [11]:

\* 
$$SO_2$$
  $+ xNaC$   
 $N_5^+ OSO_3C_{12}H_{25}$ 

На рис. 2 приведены кривые турбидиметрического титрования растворов сополимеров ДАДМАХ-диоксид серы различной молекулярной массы раствором ДДС. Как видно, независимо от молекулярной массы полиэлектролита область составов реакционной смеси, в которой система остается гомогенной, отвечает интервалу 0 < z < 0.15. Данная область соответствует образованию водорастворимых ПКК. При увеличении мольного соотношения компонентов д выше 0.15 оптическая плотность возрастает и начинают образовываться дисперсии частиц ПКК (рис. 2). В этой области прослеживается влияние молекулярной массы сополимерного полиэлектролита. как и в случае гомополимера [27]. При переходе к ДАДМАХ-диоксид серы с большей молекулярной массой темп набора оптической плотности раствора становится более плавным, кривые турбидиметрического титрования смещаются в сторону больших значений z (рис. 2). Из данных турбидиметрического титрования следует, что лио-



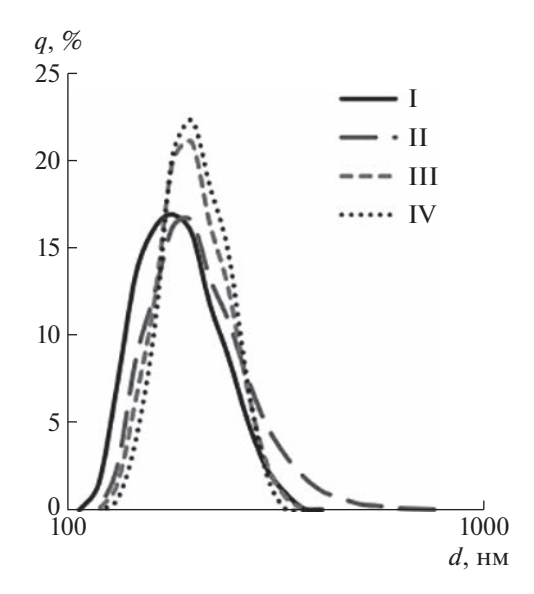
**Рис. 3.** Изменение оптической плотности при солюбилизации маслорастворимого красителя Oil Yellow OB растворами индивидуального ДДС (1) и ПКК на основе ДАДМАХ—диоксид серы (2—5). Молекулярная масса ДАДМАХ—диоксид серы  $M \times 10^{-3} = 3$  (2), 15 (3), 35 (4) и 65 (5). Для всех комплексов z = 0.1.

филизирующая способность полиэлектролита увеличивается с ростом его ММ. Влияние ММ можно объяснить основываясь на результатах работы [31]. В случае ДАДМАХ—диоксид серы большей молекулярной массы длина лиофилизирующих участков, по-видимому, достаточна для удержания в растворе частицы комплекса при большем содержании ПАВ в системе. В случае комплекса, сформированного из полиэлектролита меньшей ММ, лиофилизирующая способность полиэлектролита меньше, и дисперсии ПКК образуются при меньшем значении мольного соотношения компонентов.

Кооперативное связывание ДДС с полиионами происходит выше критической концентрации агрегации, которая ниже критической концентрации мицеллообразования чистого раствора поверхностно-активного вещества [32]. Несмотря на то, что при мольном соотношении компонентов z < 0.15 дисперсии ПКК не образуются, в растворе присутствуют водорастворимые комплексы, о чем свидетельствуют результаты определения ККА (рис. 3). Значения ККА находятся в интервале  $(1.2-1.4) \times 10^{-4}$  моль/л, молекулярная масса не оказывает принципиального влияния на ККА. Следует отметить, что ККА для ДДС в присутствии ДАДМАХ-диоксид серы сопоставима с ККА в ПКК на основе гомополимера ДАДМАХ и сополимеров ДАДМАХ с малеиновой кислотой и

N-винилпирролидоном [11]. Близкие значения ККА для ДДС в присутствии сополимеров ДАДМАХ указывают на больший вклад электростатических взаимодействий звена ДАДМАХ с ионами ДДС в кооперативные взаимодействия ПАВ—полиэлектролит в области составов реакционной смеси, где система представляет собой гомогенный раствор.

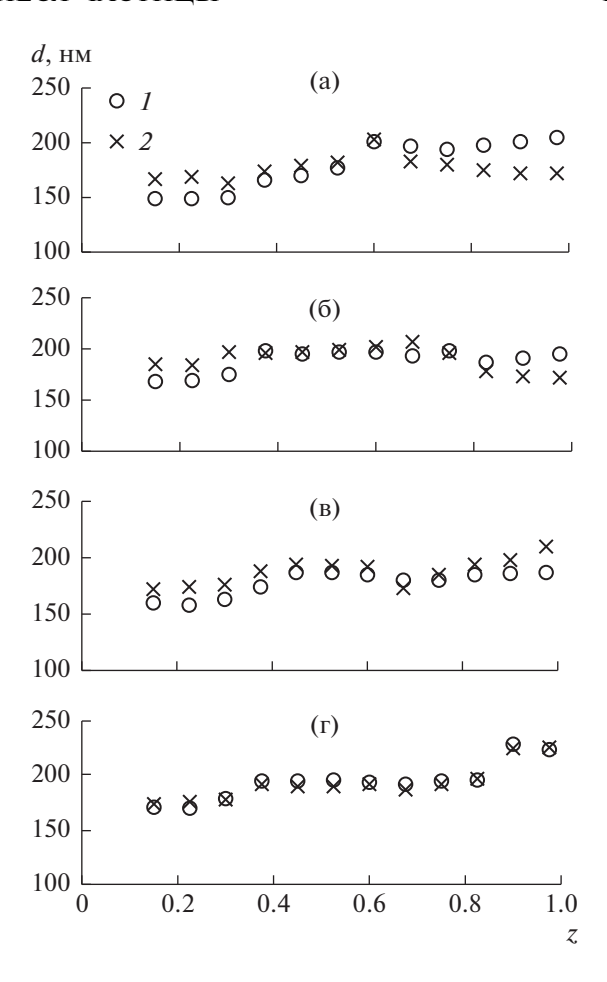
интервале соотношений компонентов ПАВ-полиэлектролит z > 0.15 образуются дисперсии частиц ПКК. Размер частиц определяли методом лазерного рассеяния света, который широко применяется для анализа размеров полимерных систем [33, 34]. Метод основан на анализе дифрактограммы, получаемой при воздействии на частицы монохроматического излучения, в рамках оптической модели сферических частиц. Благодаря богатству строения и свойств полиэлектролитов и ПАВ их комбинации приводят к огромному разнообразию потенциальных структур частиц ПКК [5, 3, 36]. Ранее с использованием специально полученных металлических поверхностей различной морфологии и подобранных условий высушивания водных растворов комплексов нам удалось определить морфологию частиц ПКК на основе сополимера ДАДМАХ с малеиновой кислотой и ДДС при помощи сканирующей электронной микроскопии. Микрочастицы комплексов, средний размер которых со-



**Рис. 4.** Размер частиц ПКК на основе сополимеров ДАДМАХ—диоксид серы в водных растворах. Молекулярная масса сополимера  $M \times 10^{-3} = 3$  (I), 15 (II), 35 (III) и 65 (IV). Мольное соотношение компонентов z = 0.38, время выдержки 7 суток. Для наглядности ось абсцисс представлена в логарифмическом масштабе.

ставляет 170—600 нм, демонстрируют типичную сферическую морфологию [37]. В настоящей работе средний размер частиц ПКК на основе ДАДМАХ—диоксид серы различной молекулярной массы, определенный методом лазерного рассеяния света, находятся в интервале от 150—200 нм (рис. 4).

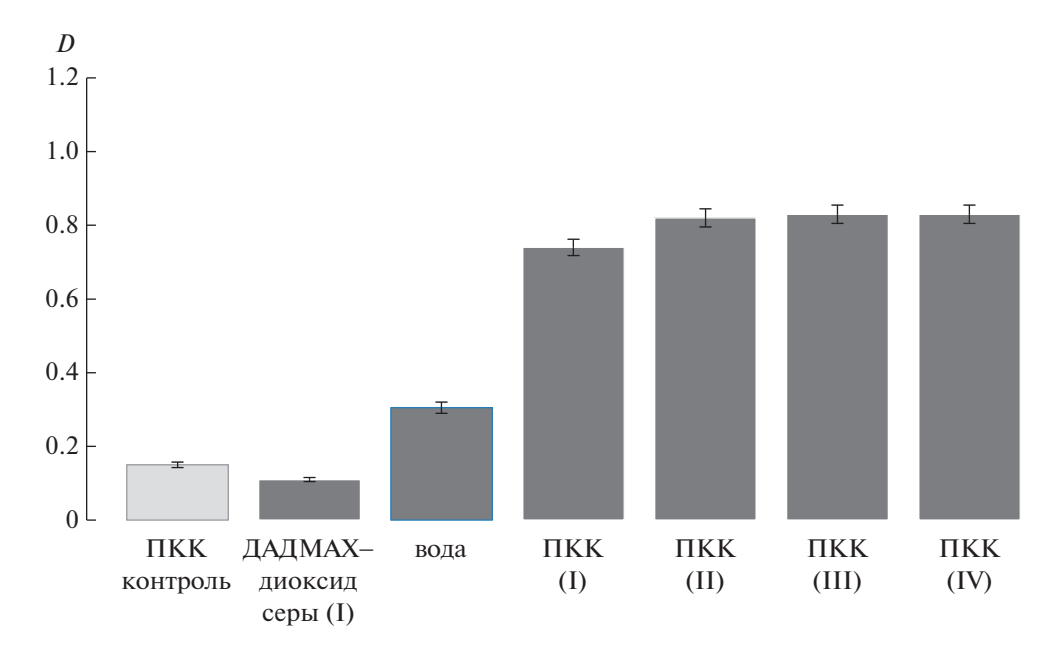
Известно, что динамика полимер-коллоидных систем синтетических полиэлектролитов чувствительна к молекулярной массе полимера [21]. Для комплексов ДАДМАХ-диоксид серы I-III при мольном соотношении компонентов z < 0.6мы наблюдаем незначительное изменение размеров частиц в течение 7 суток в большую сторону (рис. 5а-в). В случае более высокомолекулярного образца ДАДМАХ-диоксид серы IV средние размеры частиц остаются неизменными. Такое поведение полимер-коллоидных комплексов согласуется с выводами авторов работы [38], которые обнаружили, что скорость достижения равновесия в системах ПКК увеличивается с молекулярной массой полиэлектролита. Для низкомолекулярных образцов при z > 0.6 вследствие их меньшей лиофилизирующей способности в системе образуется осадок, и из-за осаждения крупных частиц в растворе через 7 суток остаются частицы меньшего размера (рис. 5а, 5б участок z > 0.6). Для ПКК на основе высокомолекулярных ДАДМАХ-диоксид серы, напротив, наблюдается укрупнение размеров частиц при z > 0.6(рис. 5в, 5г), однако лиофилизирующей способ-



**Рис. 5.** Средние размеры частиц водных растворов комплексов на основе сополимеров ДАДМАХ—диоксид серы в зависимости от мольного соотношения компонентов комплекса. Молекулярная масса  $M \times 10^{-3} = 3$  (I), 15 (II), 35 (III) и 65 (IV). Время выдержки 24 ч (*I*) и 7 суток (*2*).

ности сополимеров оказывается достаточно, чтобы удержать частицы комплексов в растворе.

Солюбилизирующая способность частиц ПКК была оценена на примере солюбилизации красителя Oil Yellow OB. Он практически не растворяется в воде, но может растворяться в любых слабо полярных средах, а также солюбилизироваться мицеллами ДДС, вследствие чего используется для исследования мицеллообразования в разных системах [11, 28]. Поскольку частицы ПКК на основе ДАДМАХ-диоксид серы различной молекулярной массы при z = 0.3 имеют близкие размеры (165–175 нм), способность к солюбилизации исследована на примере данных систем. На рис. 6 представлены оптические плотности красителя в воде, в водном растворе полимера I и в присутствии ПКК на основе ДАДМАХ-диоксид серы различной молекулярной массы. В присутствии макромолекул ДАДМАХ-диоксид серы оптическая плотность раствора красителя в 3 раза мень-



**Рис. 6.** Оптическая плотность раствора ПКК на основе ДАДМАХ—диоксид серы I без красителя (I) и оптические плотности красителя Oil-yellow OB (2-7) в водном растворе сополимера ДАДМАХ—диоксид серы I (2), в воде (3) и в присутствии ПКК на основе ДАДМАХ—диоксид серы I—IV при пятикратном разбавлении растворов (4-7). Масса ДАДМАХ—диоксид серы  $M \times 10^{-3} = 3$  (4), 15 (5), 35 (6) и 65 (7). Для всех полимер-коллоидных комплексов z = 0.3. Образцы ПКК I—IV перед УФ-измерениями разбавлены в 5 раз. Номера I-7 соответствуют столбцам на рисунке слева направо.

ше, чем у индивидуального раствора красителя (рис. 6). Вероятно, макромолекулы полиэлектролита повышают ионную силу раствора, что снижает и без того низкую растворимость красителя. Как видно на рис. 6, оптическая плотность красителя в растворах дисперсий частиц ПКК больше, чем в растворе индивидуального красителя. Мы полагаем, что лучшая растворимость красителя в присутствии комплексов обусловлена его солюбилизацией мицеллярной фазой частиц ПКК.

Зная оптическую плотность растворов индивидуального красителя, красителя в присутствии ПКК с учетом пятикратного разбавления растворов, а также оптическую плотность растворов ионных комплексов без красителя (рис. 6), можно оценить кратность повышения растворимости красителя S в присутствии дисперсий частиц ПКК. В присутствии комплексов ДАДМАХ-диоксид серы/ДДС растворимость красителя увеличивается в 11-13 раз. Молекулярная масса полиэлектролита не оказывает принципиального влияния на его растворимость. Ранее нами были исследованы частицы ионных комплексов на основе сополимера ДАДМАХ с N-винилпирролидоном и не растворимого в воде тритерпена — бетулоновой кислоты [11]. Было показано, что в присутствии дисперсий наночастиц ПКК при сопоставимой концентрации комплекса растворимость красителя Oil-vellow OB повышается более чем в 22 раза. Вероятно, большая гидрофобность

фрагментов молекулы бетулоновой кислоты по сравнению с ДДС способствует лучшему растворению красителя.

Исследование зависимости растворимости красителя от размеров частиц комплексов на основе сополимеров ДАДМАХ-диоксид серы различной молекулярной массы показало, что растворимость красителя не зависит от размеров частиц комплекса при фиксированном содержании ДДС в растворе. Отсутствие влияния размеров частиц комплексов на их солюбилизирующую активность можно объяснить следующим образом. Известно, что при комплексообразовании полиэлектролит-ПАВ одна макромолекула полиэлектролита может взаимодействовать со многими мицеллами или одна мицелла может взаимодействовать с несколькими цепями [29, 39, 40]. Вероятно, в нашем случае, количество ДДС, связанного с макромолекулой ДАДМАХ-диоксид серы, остается фиксированным, изменяется лишь число макромолекул входящих в частицы комплексов при сохранении морфологии мицеллярной фазы. Следовательно, солюбилизирующая способность комплексов не зависит от размеров частиц комплексов.

Таким образом, исследованы полимер-коллоидные комплексы на основе полиэлектролитов ДАДМАХ—диоксид серы различной молекулярной массы и ДДС. Комплексы представляют собой разновидность самоорганизующихся систем,

в которых гидрофобные участки молекул ПАВ формируют внутримолекулярные мицеллы, способные солюбилизировать не растворимые в воде молекулы органических веществ. Изменение молекулярной массы ДАДМАХ-диоксид серы значительно влияет на лиофилизирующую способность полиэлектролита и граничные значения мольного отношения компонентов ПАВ-полиэлектролит. обеспечивающие образование устойчивых дисперсий полимер-коллоидных комплексов. При повышении молекулярной массы полиэлектролита размеры частиц полимер-коллоидных комплексов увеличиваются, однако размеры частиц не влияют на солюбилизирующую способность комплексов.

Работа выполнена при финансовой поддержке Российского фонда фундаментальных исследований (код проекта 19-33-60083). Определение размера частиц выполнено в рамках Государственного задания Уфимского института химии Уфимского федерального исследовательского центра Российской академии наук № 122031400276-8.

# СПИСОК ЛИТЕРАТУРЫ

- Miyake M. // Adv. Colloid Interface Sci. 2017. V. 239. P. 146.
- Ибрагимова З.Х., Касаикин В.А., Зезин А.Б., Кабанов В.А. // Высокомолек. соед. А. 1986. Т. 28. № 8. Р.1640.
- 3. *Коробко Т.А., Изумрудов В.А., Зезин А.Б.* // Высокомолек. соед. А. 1993. Т. 35. № 1. Р. 87.
- Khan N., Brettmann B. // Polymers (Basel). 2019. V.11. P. 51.
- 5. Gradzielski M., Hoffmann I. // Curr. Opin. Colloid Interface Sci. 2018. V. 35. P. 124.
- Lapitsky Y., Parikh M., Kaler E.W. // J. Phys. Chem. B. 2007. V. 111. P. 8379.
- 7. Guzmán E., Fernández-Peña L., Ortega F., Rubio R.G. // Curr. Opin. Colloid Interface Sci. 2020. V. 48. P. 91.
- Dryabina S.S., Fotina K.M., Shulevich Y.V., Navrotskii A.V., Novakov I.A. // J. Polym. Environment. 2019. V. 27. P. 1595.
- Fernández-Peña L., Abelenda-Nuñez I., Hernández-Rivas M., Ortega F., Rubio R.G., Guzmán E. // Adv. Colloid Interface Sci. 2020. № 102203.
- Olivera M.E., Manzo R.H., Alovero F., Jimenez-Kairuz A.F., Ramírez-Rigo M.V. // Nanostruct. Oral Medicine. 2017. P. 365.
- Babaev M., Lobov A., Shishlov N., Zakharova E., Orlov A., Baymiev A., Kolesov S. // React. Funct. Polymers. 2021. V. 165. № 104968.
- 12. Mirtič J., Paudel A., Laggner P., Hudoklin S., Erdani Kreft M., Kristl J. // Int. J. Pharmaceut. 2020. V. 580. № 119199.
- 13. França M.T., Nicolay Pereira R., Klüppel Riekes M., Munari Oliveira Pinto J., Stulzer H.K. // Eur. J. Pharmaceut. Sci. 2018. V. 111. P. 142.
- 14. Zakharova J.A., Otdelnova M.V., Ivleva E.M., Kasaikin V.A., Zezin A.B., Kabanov V.A. // Polymer. 2007. V. 48. № 1. P. 220.

- 15. Bain C.D., Claesson P.M., Langevin D., Meszaros R., Nylander T., Titmuss S., von Klitzing R., Stubenrauch C. // Adv. Colloid Interface Sci. 2010. V. 155. № 1–2. P. 32.
- Dong B., Cheow W.S., Hadinoto K. // Adv. Powder Technol. 2020. V. 31. P. 3102.
- 17. Shulevich Y.V., Kovaleva O.Y., Navrotskii A.V., Skrebneva V. G., Novakov I. A. Russ. J. Appl. Chem. 2008. V. 81. № 1. P. 108.
- Guzmán E., Fernández-Peña L., Akanno A., Llamas S., Ortega F., Rubio R.G. // Coatings. 2019. V. 9. № 7. P. 438.
- 19. *Mészáros R., Thompson L., Bos M., Varga I., Gilányi T.* // Langmuir. 2003. V. 19. № 3. P. 609.
- Varga I., Campbell R.A. // Langmuir. 2017. V. 33. P. 5915.
- 21. *Bahramian A., Thomas R.K., Penfold J.* // J. Phys. Chem. B. 2014. V. 118. № 10. P. 2769.
- 22. Patel L., Mansour O.T., Bryant H., Abdullahi W., Dalgliesh R.M., Griffiths P.C. // Langmuir. 2020. № 36. P. 8815.
- 23. Шулевич Ю.В., Ковалева О.Ю., Навроцкий А.В., Скребнева В.Г., Новаков И.А. // Журн. прикл. химии. 2008. Т. 81. № 1. С. 112.
- 24. *Шилова С.В., Третьякова А.Я., Безруков А.Н., Мягченков В.А., Барабанов В.П.* // Журн. прикл. химии. 2007. № 9. С. 1547.
- 25. Bilalov A.V., Babaev A.A., Tret'yakova F.Ya., Myagchenkov V.A., Barabanov V.P. // Polymer Science A. 2005. V. 47. № 11. P.1149.
- 26. Воробьева А.И., Васильева Е.В., Гайсина Х.А., Пузин Ю.И., Леплянин Г.В. // Высокомолек. соед. А. 1996. Т. 38. № 10. С. 1663.
- 27. *Babaev M.S., Vorob'eva A.I., Kolesov S.V.* // Polymer Science A. 2015. V. 57. № 3. P. 266.
- 28. Shulevich Y.V., Kovaleva O.Y., Navrotskii A.V., Zakharova Y.A., Zezin A.B., Novakov I.A. // Polymer Science A. 2007. V. 49. № 12. P. 1284.
- 29. *Bai G., Santos L.M.N.B.F., Nichifor M., Lopes A., Bastos M.* // J. Phys. Chem. B. 2004. V. 108. № 1. P. 405.
- 30. Nizri G., Lagerge S., Kamyshny A., Major D.T., Magdassi S. // J. Colloid Interface Sci. 2008. V. 320. P. 74.
- 31. Kasaikin V.A., Efremov V.A., Zakharova J.A., Zezin A.B., Kabanov V.A. // Dokl. Chem. 1997. V. 354. P. 126.
- 32. *Lee J., Moroi Y.* // Langmuir. 2004. V. 20. № 11. P. 4376.
- Samoilova N.A., Krayukhina M.A., Vyshivannaya O.V., Blagodatskikh I.V. // Polymer Science A. 2022. V. 64. № 4. P. 277.
- 34. Kurmaz S.V., Ivanova I.I., Fadeeva N.V., Perepelitsina E.O., Lapshina M.A., Balakina A.A., Terent'ev A.A. // Polymer Science A. 2022. V. 64. № 5. P. 434.
- 35. *Bali K., Varga Z., Kardos A., Mészáros R.* // Colloids Surf. A. 2019 V. 574. P. 21.
- 36. Bali K., Varga Z., Kardos A., Varga I., Gilányi T., Domján A., Wacha A., Bóta A., Mihály J., Mészáros R. // Langmuir. 2018. V. 34. P. 14652.
- 37. Babaev M.S., Lobov A.N., Shishlov N.M., Kolesov S.V. // React. Funct. Polymers. 2022. V. 178. P.105359.
- 38. Buckingham J.H., Lucassen J., Hollway F. // J. Colloid Interface Sci. 1978. № 67. P. 423.
- 39. *Khan N., Brettmann B.* // Polymers. 2018. V. 11(1). № 51.
- 40. Kogej K., Evmenenko G., Theunissen E., Berghmans H., Reynaers H. // Langmuir. 2001. 17. P. 3175.